



4.0 REDUCTORES PENDULARES P

SHAFT-MOUNTED GEARBOX P

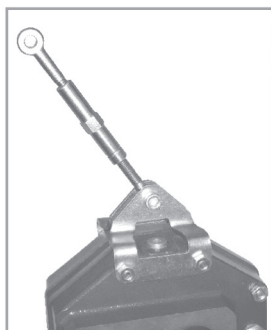
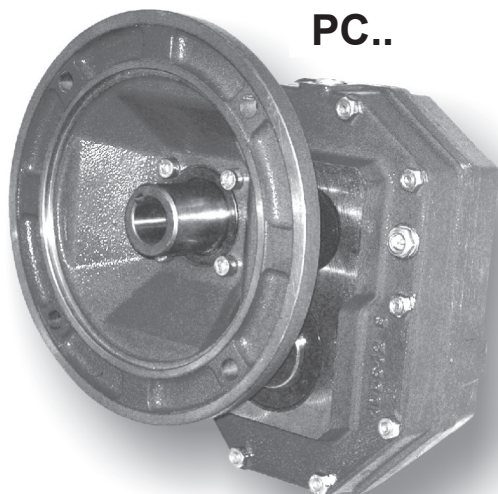
REDUCTEURS PENDULAIRES P

4.1	Características	<i>Characteristics</i>	Caractéristiques	70
4.2	Nomenclatura	<i>Designation</i>	Désignation	71
4.3	Velocidad de entrada	<i>Input speed</i>	Vitesse d'entrée	71
4.4	Rendimiento	<i>Efficiency</i>	Rendement	71
4.5	Potencia térmica	<i>Thermal power</i>	Puissance thermique	72
4.6	Datos técnicos	<i>Technical data</i>	Données techniques	72
4.7	Momento de inercia	<i>Moments of inertia</i>	Moments d'inertie	73
4.8	Dimensiones	<i>Dimensions</i>	Dimensions	74
4.9	Accesorios	<i>Accessories</i>	Accessoires	75
4.10	Juegos angulares	<i>Angular backlash</i>	Jeux angulaires	77
4.11	Lubricación	<i>Lubrication</i>	Lubrification	78
4.12	Cargas radiales y axiales	<i>Radial and axial loads</i>	Charges radiales et axiales	79
4.13	Lista de recambios	<i>Spare parts list</i>	Liste des pièces détachées	80

PA..



PC..



05/2021



4.1 Características

- Construidos en 6 tamaños de una reducción y en 6 tamaños de dos reducciones.
- Están provistos de dos tipos de entrada: una con eje de entrada macho y otra con predisposición para acoplar motor compacta para el acoplamiento a motores eléctricos empalmados IEC.
- La carcasa de los reductores son de fundición maleable EN GJL 200 UNI EN 1561 nervadas interior y exteriormente a fin de garantizar la rigidez del grupo. Posee una única cámara de lubricación garantizando una mayor disipación térmica y mejor lubricación de todos los componentes.

- Los engranajes cilíndricos, de dentado helicoidal, están fabricados de acero 16NiCr4, 18NiCrMo5 o 20MnCr5 UNI EN 10084 cementados o templados, rectificados dentro de la clase de calidad 6 de la DIN 3962.
- El eje lento hueco de serie de acero fabricado con orificios de varios diámetros, la posibilidad de montar una brida de salida en el lado opuesto del eje de entrada, el anclaje mediante un tensor o un brazo de reacción y la predisposición para el montaje del dispositivo anti-retorno, exaltan las prestaciones de estos reductores facilitando su instalación en múltiples aplicaciones.
- La carcasa del reductor, las bridas y la cobertura están barnizadas externamente de color AZUL RAL 5010.

4.1 Characteristics

- *Built in 6 sizes with a single reduction stage and in 6 sizes with two reduction stages.*
- *Two input types are available: one with projecting input shaft and one with compact motor coupling for mounting to IEC flanged electric motors.*
- *The gear unit body in engineering cast iron, EN GJL 200 UNI EN 1561 internally and externally ribbed to guarantee rigidity has a single lubrication chamber to guarantee an improved heat dissipation and a better lubrication of all the internal components.*
- *The helical spur gears are built in 16NiCr4, 18NiCrMo5 or 20MnCr5 UNI EN 10084 quench-hardened and case-hardened steel, all ground according to quality 6 DIN 3962.*
- *The standard hollow output shaft made of steel and available with holes of various diameters, the possibility of mounting an output flange on the side opposite the input shaft, anchorage through either a tensioner or a torque arm, the possibility of mounting a backstop device, make these gearboxes highly efficient and facilitate their installation in various applications.*
- *Gearbox housing, flanges and covers are externally painted with BLUE RAL 5010.*

4.1 Caractéristiques

- Fabriqués en 6 tailles pour un train de réduction et en 6 tailles pour 2 trains de réduction.
- Deux types d'entrées sont prévues : une avec arbre d'entrée dépassant et le deuxième avec prédisposition compacte d'accouplement moteur pour le raccordement à des moteurs électriques avec bride IEC.
- Le corps du réducteur en fonte mécanique EN GJL 200 UNI EN 1561, est équipé de nombreuses nervures à l'intérieur aussi bien qu'à l'extérieur pour en assurer la rigidité ; une seule chambre de graissage assure également une dissipation thermique supérieure ainsi qu'une meilleure lubrification de tous les organes internes.
- Les engrenages cylindriques, à denture hélicoïdale, sont construits en acier 16NiCr4, 18NiCrMo5 ou 20MnCr5 UNI EN 10084 cémentés et trempés, rectifiés dans le cadre de la classe de qualité 6 de la norme DIN 3962.
- L'arbre creux de sortie est fabriqué de série en acier et comporte des trous de diamètre variés ; la possibilité de monter une bride de sortie sur le côté opposé à l'arbre d'entrée, l'ancrage par moyen d'un tendeur ou d'un bras de réaction et la prédisposition pour le montage d'un dispositif anti-dévierneur prônent les performances de ces réducteurs et en facilitent l'installation dans de nombreuses applications.
- Le corps du réducteur, les brides et les capots sont peints selon BLEU RAL 5010.

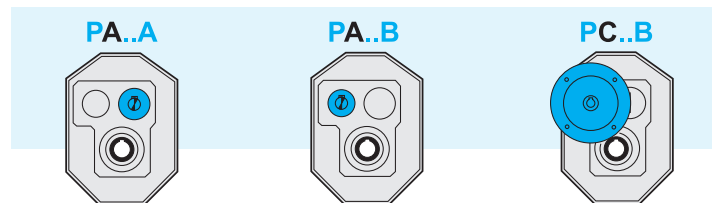


4.2 Nomenclatura

4.2 Designation

4.2 Désignation

	Maquina Machine Machine	Tipo de entrada Input type Type d'entrée	Tamaño Size Taille	Diametro del eje lento Output shaft diameter Diamètre de l'arbre de sortie	Rotación Gearing Trains de réduction	Relación de red. Ratio Rapport de réduction	Predisposición Motor coupling Prédisposition accouplement moteur	Brazo de reacción Torque arm Bras de réaction	Tensor Tensioner Tendre	Ejecución Execution Position de montage	Posición de montaje Mounting position Position de montage	Brida de salida Output flange Bride de sortie	Antirretorno Back-stop device Anti-déviseur
	P	A	100	45	B	10/1	P.A.M.	BR	-	O	VA	FLD	CW
Reductores pendulares Shaft mounted gearbox Réducteur pendulaire		A C	63 80 100 125 160	$D_2 = 25 \div 70$	A B	$i_n = 5 \div 63$	$63 \div 200$	BR solo only uni PC...B	TE solo only uni PA...	O	P1 P2 P3 P4 VA VB	FLD solo only uni PC...B	AW CW solo only uni PA...B



4.3 Velocidad de entrada

Todas las prestaciones de los reductores son calculadas en base a una velocidad de entrada de 1400 min^{-1} . Todos los reductores admiten velocidades hasta 3000 min^{-1} , sin embargo aconsejamos, donde la aplicación lo permita, utilizar frecuencias menores a 1400 min^{-1} .

En la tabla siguiente, se encuentran los coeficientes correctivos de la potencia en entrada P a las varias velocidades referidas a $FS = 1$.

4.3 Input speed

All calculations of gear unit performance are based on an input speed of 1400 min^{-1} . All gear units permit speed up to 3000 min^{-1} , nevertheless it is advisable to keep below 1400 min^{-1} , depending on application.

The table below reports input power P corrective coefficients at the various speeds, with $FS = 1$.

4.3 Vitesse d'entrée

Toutes les performances des réducteurs sont calculées sur la base d'une vitesse d'entrée de 1400 min^{-1} . Tous les réducteurs admettent des vitesses jusqu'à 3000 min^{-1} même s'il est conseillé d'utiliser des valeurs inférieures à 1400 min^{-1} , pour les applications qui le permettent.

Dans le tableau ci-dessous figurent les coefficients de correction de la puissance en entrée P aux différentes vitesses, se référant à $FS = 1$.

Tab. 1

$n_1 [\text{min}^{-1}]$	3000	2800	2200	1800	1400	900	700	500
$P_c (\text{kW})$	$P \times 1.9$	$P \times 1.8$	$P \times 1.48$	$P \times 1.24$	$P \times 1$	$P \times 0.7$	$P \times 0.56$	$P \times 0.42$

4.4 Rendimiento

El valor de rendimiento de los reductores puede ser estimado con suficiente aproximación en base al número de reducciones, ignorando las variaciones no significativas atribuibles a los distintos tamaños y relaciones.

4.4 Efficiency

The efficiency value of the gear units can be estimated sufficiently well on the basis of the number of reduction stages, ignoring non-significant variations which can be attributed to the various sizes and ratios.

4.4 Rendement

La valeur du rendement des réducteurs peut être calculée avec précision si on considère les trains de réduction et les variations non-significatives que l'on peut attribuer aux différentes tailles et rapports.

η	P..A	P..B
	0.97	0.95





4.5 Potencia térmica

Los valores de las potencias térmicas, P_{t0} (kW), relativas a los diversos tamaños de reductores pendulares están indicadas en la tabla siguiente en función de la velocidad de rotación en entrada del reductor.

4.5 Thermal power

The following table shows the values of thermal power P_{t0} (kW) for each gearbox size on the basis of rotation speed at gearbox input.

4.5 Puissance thermique

Les valeurs de la puissance thermique P_{t0} (kW) qui concernent toutes les tailles des réducteurs à arbres pendulaires sont indiquées au tableau suivant en fonction de la vitesse de rotation à l'entrée du réducteur.

Tab. 2

n_1 [min $^{-1}$]	P _{t0} [kW] - Potencia térmica / Thermal power / Puissance thermique									
	PA63A	PA63B	PA80A	PA80B	PA100A	PA100B	PA125A	PA125B	PA160A	PA160B
1400	4.6	3.2	8.3	5.9	12.7	8.9	18.5	13.1	29.0	20.5
2800	3.9	2.8	7.0	5.0	10.8	7.6	15.7	11.1	24.7	17.4

4.6 Datos técnicos

4.6 Technical data

4.6 Données techniques

P	n ₁ = 1400			PC			PA			P	n ₁ = 1400			PC			PA		
	in	ir	n ₂	T ₂	P1	FS'	IEC	T _{2M}	P		in	ir	n ₂	T ₂	P1	FS'	IEC	T _{2M}	P
63A	5	5.09	275					190	5.6	125A	5	5.09	275					1520	45.1
	6.3	6.10	230					180	4.5		6.3	6.10	230					1440	35.7
	8	7.89	177					170	3.3		8	7.89	177					1360	26.1
63B	10	10.35	135	121	1.8	1.9		230	3.4	125B	10	10.20	137	1454	22	1.3		1840	27.8
	12.5	13.18	106	154	1.8	1.6	63	240	2.8		12.5	12.98	108	1851	22	1.0		1920	22.8
	16	15.79	89	184	1.8	1.4	71	250	2.4		16	15.56	90	1865	18.5	1.1		2000	19.8
	20	20.33	69	237	1.8	1.1	80	260	2.0		18*	17.34	81	2072	18.5	1.1		2200	19.5
	25	25.88	54	252	1.5	1.1	90	270	1.6		20	20.36	69	1979	15	1.1	80	2080	15.8
	31.5	31.01	45	221	1.1	1.3	(B14)	280	1.4		25	24.40	57	1739	11	1.2	90	2160	13.7
	40	40.10	35	234	0.9	1.2		270	1.0		31.5	31.05	45	2214	11	1.0	100	2240	11.1
80A	5	5.09	275					380	11.3	160A	35*	34.62	40	2087	9.2	1.1	112	2350	10.5
	6.3	6.10	230					360	8.9		40	37.21	38	2160	9.2	1.0	132	2160	9.2
	8	7.89	177					340	6.5		45*	41.48	34	2001	7.5	1.1	160	2280	8.5
80B	10	10.20	137	264	4	1.7		460	7.0		50	48.12	29	1715	5.5	1.2	180	2080	6.7
	12.5	12.98	108	337	4	1.4	71	480	5.7		56*	53.64	26	1396	4	1.2	200	1740	5.0
	16	15.56	90	403	4	1.2	80	500	5.0		63	62.23	22	1613	4	1.2	220	2000	5.0
	20	20.36	69	520	4	1.0	90	520	4.0		35*	34.62	40	2087	9.2	1.1	2350	10.5	
	25	24.40	57	474	3	1.1	(B14)	540	3.4		40	37.21	38	2160	9.2	1.0	180	2160	9.2
	31.5	31.05	45	443	2.2	1.3		560	2.8		45*	41.48	34	2001	7.5	1.1	200	2280	8.5
	40	37.21	38	530	2.2	1.0	90*	540	2.2		50	48.12	29	1715	5.5	1.2	220	2080	6.7
	50	48.12	29	468	1.5	1.1	(B14)	520	1.7		56*	53.64	26	1396	4	1.2	2350	10.5	
100A	63	62.23	22	444	1.1	1.1		500	1.2		63	62.23	22	1613	4	1.2	200	2160	9.2
	5	5.09	275					760	22.6	160B	10	10.20	137	1983	30	1.9	200	3680	55.7
	6.3	6.10	230					720	17.8		12.5	12.98	108	2524	30	1.5	200	3840	45.6
100B	8	7.89	177					680	13.0		16	15.56	90	3024	30	1.3	200	4000	39.7
	10	10.20	137	608	9.2	1.5		920	13.9		18*	17.34	81	3360	30	1.3	200	4350	39.0
	12.5	12.98	108	774	9.2	1.2		960	11.4		20	20.36	69	3959	30	1.0	200	4160	31.5
100B	16	15.56	90	927	9.2	1.1	80	1040	7.9		25	24.40	57	3479	22	1.2	200	4320	27.3
	20	20.36	69	990	7.5	1.1	90	1080	6.8		31.5	31.05	45	4427	22	1.0	200	4480	22.3
	25	24.40	57	870	5.5	1.2	100	1120	5.6		35*	34.62	40	4196	18.5	1.1	200	4480	20.0
	31.5	31.05	45	1107	5.5	1.0	132	1080	4.5		40	37.21	38	3617	15	1.2	200	4320	17.9
	40	37.21	38	965	4	1.1	(B5)	1040	3.3		45*	41.48	34	4003	15	1.1	200	4430	16.5
	50	48.12	29	936	3	1.1		1080	3.3		50	48.12	29	3430	11	1.2	200	4160	13.3
	63	62.23	22	887	2.2	1.1		1000	2.5		56*	53.64	26	3210	9.2	1.1	200	3450	9.9
	63	62.23	22	887	2.2	1.1		1000	2.5		63	62.23	22	3710	9.2	1.1	200	4000	9.9

* Brida cuadradas / Square flanges / Brides carrées

* Relaciones especiales / Special ratios / Rapports spéciaux

Verificación térmica necesaria / Thermal rating needed / Contrôle thermique nécessaire



4.7 **Momento de inercia [Kg·cm²]**
 (del eje rápido de entrada)

63A	i _n	PA
	5	1.09
	6.3	0.86
	8	0.62

80A	i _n	PA
	5	3.45
	6.3	2.60
	8	1.87

100A	i _n	PA
	5	10.09
	6.3	7.40
	8	5.26

125A	i _n	PA
	5	28.98
	6.3	22.22
	8	15.91

160A	i _n	PA
	5	93.17

4.7 **Moments of inertia [Kg.cm²]**
 (referred to input shaft)

63B	i _n	PA	PC			
			IEC B5	63	71	80
	10		0.87	1.01	1.38	1.43
	12.5		0.81	0.95	1.33	1.38
	16		0.77	0.92	1.30	1.35
	20		0.40	0.54	0.92	0.97
	25		0.39	0.53	0.91	0.95
	31.5		0.38	0.52	0.90	0.95
	40		0.37	0.51	0.89	0.94

80B	i _n	PA	PC			
			IEC B5	71	80	90
	10		2.94	3.40	3.57	3.95
	12.5		2.77	3.23	3.40	3.77
	16		2.65	3.11	3.28	3.66
	20		1.22	1.68	1.85	2.23
	25		0.95	1.45	1.62	1.99
	31.5		0.91	1.42	1.59	1.96
	40		0.89	1.39	1.56	1.94
	50		0.88	1.38	1.55	1.93
	63		0.63	1.16	1.33	1.71

100B	i _n	PA	PC			
			IEC B5	80	90	100-112
	10		9.58	11.01	10.88	11.83
	12.5		8.72	10.15	10.02	10.98
	16		8.32	9.75	9.62	10.57
	20		3.91	5.08	4.95	5.90
	25		3.04	4.27	4.14	5.10
	31.5		2.89	4.12	3.99	4.95
	40		2.82	4.05	3.92	4.88
	50		2.77	4.00	3.87	4.83
	63		1.95	3.28	3.15	4.11

125B	i _n	PA	PC			
			IEC B5	80	90	100-112
	10		28.02	29.78	29.65	29.79
	12.5		25.22	26.98	26.85	26.98
	16		24.17	25.93	25.80	25.94
	18*		23.50	25.26	25.13	25.27
	20		11.08	12.52	12.39	12.53
	25		8.65	10.19	10.06	10.20
	31.5		8.16	9.70	9.57	9.71
	35*		9.95	11.39	11.26	11.40
	40		7.98	9.52	9.39	9.53
	45*		7.86	9.40	9.27	9.41
	50		7.83	9.37	9.24	9.38
	56*		5.44	7.30	7.17	7.31
	63		5.42	7.28	7.16	7.29

160B	i _n	PA	PC			
			IEC B5	110-112	132	160
	10		87.64	91.32	97.00	96.00
	12.5		78.05	81.74	87.42	86.42
	16		75.36	79.04	84.72	83.72
	18*		73.88	77.56	83.24	82.24
	20		34.51	37.42	43.10	42.10
	25		27.20	30.18	35.86	34.86
	31.5		25.53	28.51	34.19	33.19
	35*		31.06	33.96	39.65	38.65
	40		25.06	28.03	33.72	32.72
	45*		24.80	27.78	33.46	32.46
	50		24.52	27.50	33.18	32.18
	56*		17.24	21.15	26.83	25.83
	63		17.07	20.98	26.67	25.66

* Relaciones especiales
 Special ratios
 Raports spéciaux

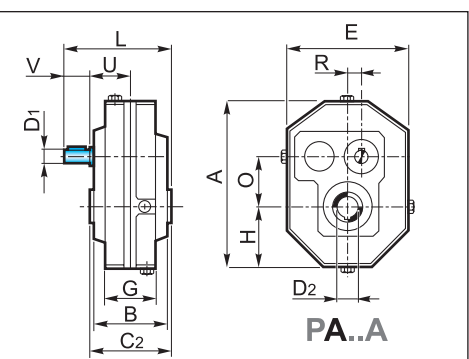


4.8 Dimensiones

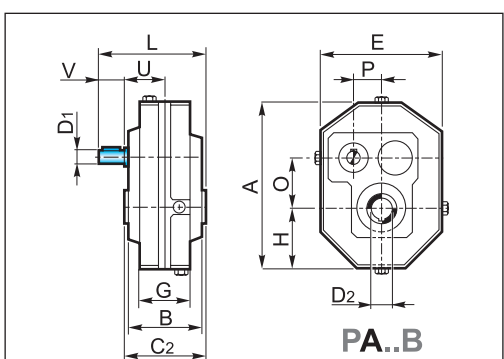
4.8 Dimensions

4.8 Dimensions

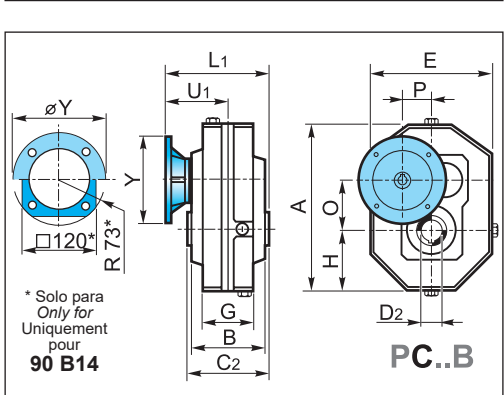
	PA...A - PA...B - PC...B												
	63		80			100		125		160			
A	194		266			331		405		510			
B	97		120			143		164		196			
C2	101		130			155		180		220			
D2 _{H7}	25	28	30	30	35	38	40	45	50	55	60	65	70
E	140		196			242		293		367			
G	68		82			100		118		146			
H	70		98			121		146.5		183.5			
O	61.5		79.5			99.5		123.5		157			
P	30.3		43.9			59.6		72.4		85.1			
R	17.7		20.1			22.4		29.6		41.9			



	PA...A				
	63	80	100	125	160
D1 _{h6}	19	24	28	38	48
V	40	50	60	80	80
L	157	194	229	281	342
U	66	79	91	111	152
kg	10	16	28	52	108
	PA...B				
	63	80	100	125	160
D1 _{h6}	14	19	24	28	38
V	30	40	50	60	80
L	138	171	206	241	301.5
U	51.5	66	78.5	91	111.5
kg	12	18	34	58	120



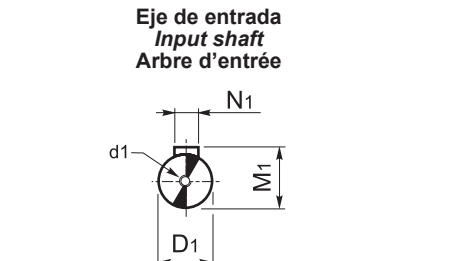
	PC...B							
	63				80			
IEC	63 B5	71 B5	80/90 B5	80 B14	71 B5	80/90 B5	*90 B14	100/112 B5
Y	140	160	200	120	160	200	120 / R 73	250
L1	141	148	168	168	173	193	193	203
U1	90.5	97.5	117.5	117.5	108	128	128	138



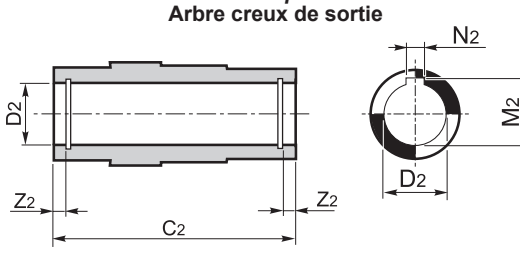
* Brida cuadradas / Square flanges / Brides carrées

	PC...B										
	100			125			160				
IEC	80/90 B5	100/112 B5	132 B5	80/90 B5	100/112 B5	132 B5	160/180 B5	100/112 B5	132 B5	160/180 B5	200 B5
Y	200	250	300	200	250	300	350	250	300	350	400
L1	221	231	253	244	254	276	306	298	318	348	348
U1	143.5	153.5	175.5	154	164	186	216	188	208	238	238

	PA...A										
	63			80			100		125		160
D1 _{h6}	19			24			28		38		48
d1	M8			M8			M8		M10		M12
M1	21.5			27			31		41		51.5
N1	6			8			8		10		14
	PA...B										
D1 _{h6}	14			19			24		28		38
d1	M6			M8			M8		M8		M10
M1	16			21.5			27		31		41
N1	5			6			8		8		10



	PA...A - PA...B - PC...B												
	63			80			100		125		160		
C2	101			130			155		180		220		
D2 _{H7}	25	28	30	30	35	38	40	45	50	55	60	65	70
M2	28.3	31.3	33.3	33.3	38.3	41.3	43.3	48.8	54.3	59.3	64.4	69.4	79.4
N2	8	8	8	8	10	10	12	14	14	16	18	18	20
Z2	7.3	7.3	7.3	8.5	8.5	8.5	10.8	10.8	12	12	15.5	15.5	15.5



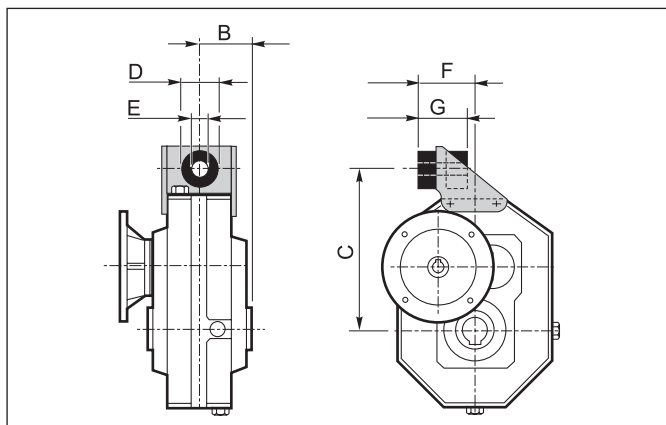


4.9 Accesories

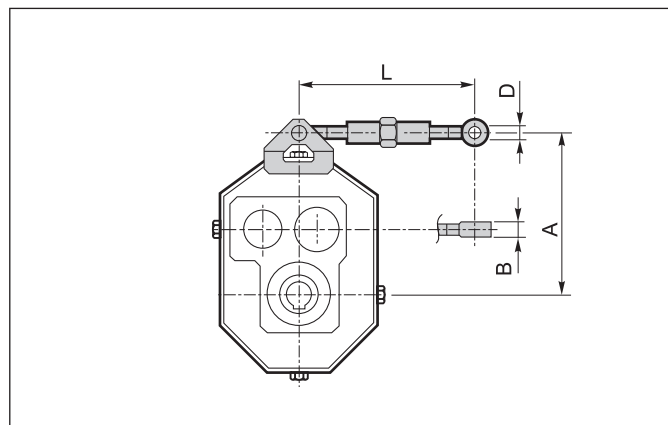
4.9 Accessories

4.9 Accessoires

Brazo de reacción
Torque arm
Bras de réaction



Tensor
Tensioner
Tendeur

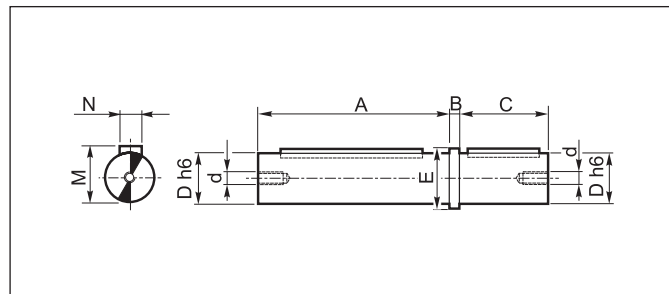


	PC...B				
	63	80	100	125	160
B	50.5	65	77.5	90	110
C	150	200	250	308	385
D	40	40	60	60	80
E	12.5	12.5	21	21	25
F	64.5	78	101	116	144
G	53	55	85	86	112

Eje lento

Output shaft

Arbre de sortie



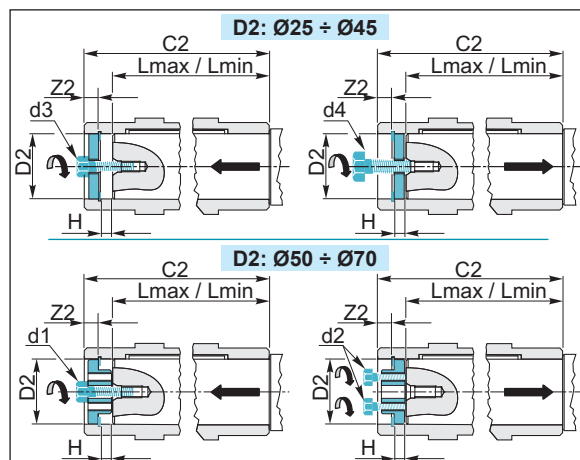
	PA...A - PA...B - PC...B				
	63	80	100	125	160
A	100	129	154	179	219
B	5	6	8	10	12
C	50	60	80	100	125
D_{h6}	25	35	45	55	70
d	M8	M8	M10	M10	M12
E	32	43	53	65	80
M	28	38	48.5	59	74.5
N	8	10	14	16	20

Material del eje lento: **C45** - Output shaft material: **C45** - Matériel arbre de sortie : **C45**

**Kit de fijación y desmontaje
reductores con eje lento hueco**

**Kit for the mounting and dismantling
of the gearboxes with hollow output
shaft**

**Kit de fixation et de démontage
réducteurs avec arbre lent creux**



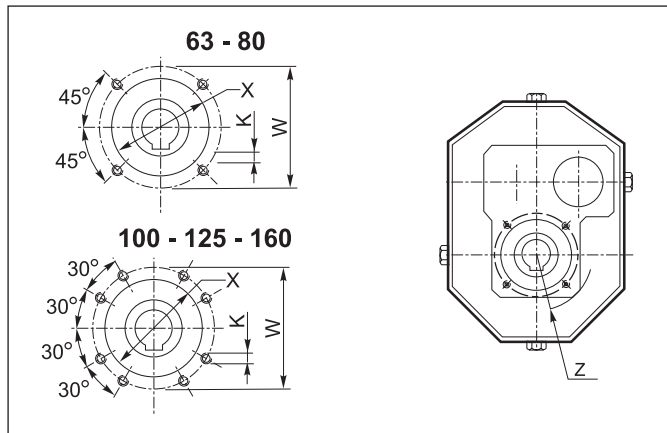
	P														
	63			80			100			125			160		
C2	101			130			155			180			220		
D2	25	28	30	30	35	38	40	45	50	55	60	65	70		
H	7			7	6.5		8		9		12	11.5	12		
d1	—			—			—		—	M10		M12			
d2	—			—			—		—	M8		M10			
d3	M8			M8			M8		—			—			
d4	M12			M12			M12		—			—			
Z2	7.2			8.7	8.4		10.7		11.9	15.9	15.4				
Lmax	84			112			133		156		189				
Lmin	79			107			128		149		182				



Predisposición para brida de salida

Coupling for output flange

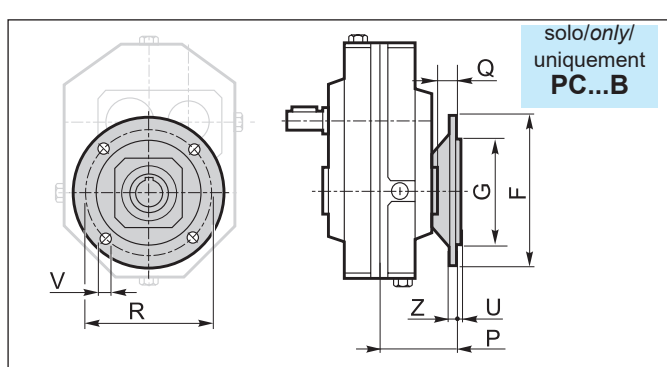
Disposition pour bride de sortie



Brida de salida

Output flange

Bride de sortie



Dispositivo anti-retorno

Backstop device

Dispositif anti-dévireur

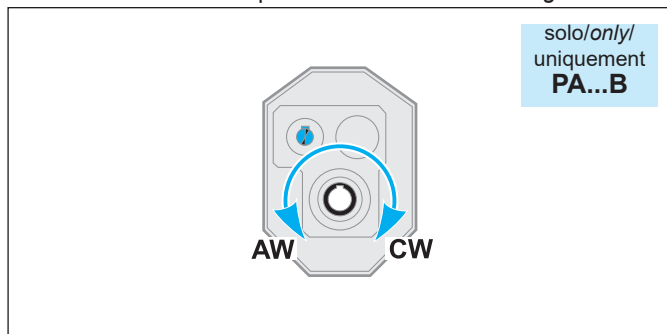
El reductor pendular presenta valores de rendimiento estático (y dinámico) muy elevados: por este motivo no se garantiza espontáneamente la irreversibilidad estática. La irreversibilidad estática se da cuando, en un reductor inactivo, la aplicación de una carga al eje lento no pone en rotación el eje de entrada. Por lo tanto, para garantizar la irreversibilidad del movimiento en reductores inactivos, se debe colocar al reductor un dispositivo anti-retorno adecuado, suministrado a pedido, solo para los reductores a dos etapas de reducción con entrada con eje (PA...B, excluso PA 63B). Tal dispositivo permite la rotación del eje lento solo en el sentido deseado, que se especificará al momento de realizar el pedido.

Shaft-mounted gearboxes feature quite high values of static (and dynamic) efficiency; for this reason spontaneous static irreversibility is not guaranteed. Static irreversibility, with motionless gearbox, occurs when the application of a load on the output shaft does not cause rotation of the input axis. In order to guarantee motion irreversibility, with motionless gearbox, it is necessary to fit a backstop device, which is available on request only for gearbox with 2 reduction stages input shaft version (PA..B, PA 63B excluded).

The backstop device enables rotation of the output shaft only in the required direction, which is to be specified when ordering.

Le réducteur à arbres parallèles présente des valeurs de rendement statique (et dynamique) très élevées :

pour cette raison on ne peut pas garantir l'irréversibilité statique. L'irréversibilité statique se réalise lorsque le réducteur est à l'arrêt et que l'application de la charge sur l'arbre de sortie ne permet aucune rotation de l'arbre d'entrée. Par conséquent pour garantir l'irréversibilité du mouvement avec réducteur arrêté, il faut prédisposer le réducteur pour le montage d'un dispositif anti-dévireur, livrable sur demande et uniquement en cas de réducteur à 2 ou à 3 trains de réduction (PA..B à l'exception de PA 63B). Ce dispositif permet la rotation de l'arbre de sortie seulement dans le sens souhaité et doit être spécifié lors de la commande.

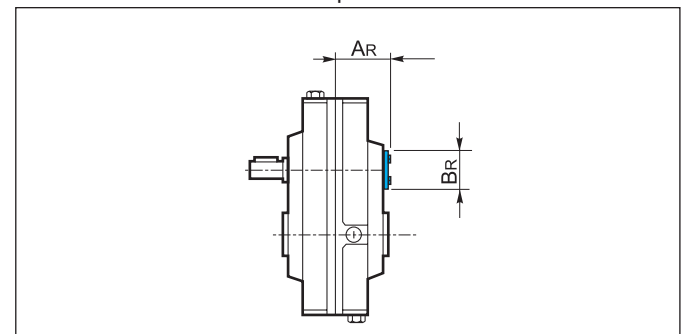


CW Rotación horaria
Clockwise rotation
Rotation horaire

AW Rotación antihoraria
Anti-clockwise rotation
Rotation anti-horaire

	PA...A - PA...B - PC...B				
	63	80	100	125	160
K	M6 x 12	M10 x 12	M8 x 12	M10 x 15	M12 x 20
W	80	105	122	145	186
Z	50	64.5	72.5	90	110
X	62	80	100	120	136

	PC...B				
	63	80	100	125	160
F	160	200	250	300	350
G f7	110	130	180	230	250
R	130	165	215	265	300
P	86.5	98	110	135	177.5
Q	36	33	32.5	45	67.5
U	3	4	4	4	5
V	9	12	14	14	19
Z	10	10	12	15	16



	PA 80B	PA 100B	PA 125B	PA 160B
AR	70	83.5	95	112
BR	60	65	85	95



En el caso que se utilice el dispositivo anti-retorno se recomienda utilizar aceite sintético, de viscosidad ISO150.

En la tabla siguiente (tab. 3) están indicados los valores del par de salida nominales máximos (T_{2Mmax}), referidos al eje de salida, garantizados por el dispositivo anti-retorno, por cada relación de reducción y cada tamaño de reductor. Si en el eje lento se aplica un par mayor de lo que viene indicado, la irreversibilidad del movimiento no está garantizada. Estos valores de pares no se deben confundir con aquellos de la tabla que especifica datos técnicos de los reductores.

De hecho, se ve en la tabla como se evidencian los valores de par garantizados (de salida), del dispositivo anti-retorno, resultando ser menores de los máximos valores del par motriz transmisible, con un factor de servicio (FS = 1), del reductor.

Véase apartado 1.5 para la verificación del dispositivo anti-retorno.

The utilization of synthetic oil, viscosity class ISO 150, is necessary for the gearboxes equipped with back stop device.

The following table (tab. 3) shows the max. rated torques (T_{2Mmax}) at gearbox output guaranteed by the backstop device, for each ratio and each gearbox size. If a higher torque is applied at gearbox output, motion irreversibility is no longer guaranteed. These torque values are not to be confused with the values reported in the gearbox specifications tables.

Please note that the torque values guaranteed (at output) by the backstop device are lower than the max. driving torque values transmissible by the gearbox, with service factor FS = 1.

En cas de réducteur avec dispositif anti-déviseur on recommande l'utilisation d'huile synthétique, classe de viscosité ISO 150.

Les valeurs des couples nominales max. (T_{2Mmax}) concernant l'arbre de sortie, garanties par le dispositif anti-déviseur, pour chaque type de rapport de réduction et pour chaque taille sont indiquées au tableau suivant (tab 3). Si on applique un couple plus élevé sur l'arbre de sortie l'irréversibilité n'est pas garantie. Ces valeurs de couple ne doivent pas se confondre avec les valeurs indiquées au tableau concernant les données techniques des réducteurs.

En effet il faut considérer que les valeurs du couple (à la sortie) mises en évidence sur le tableau et garanties par le dispositif anti-déviseur sont inférieures aux valeurs max. du moment transmissible du réducteur selon facteur de service FS = 1.

To check the back stop device pls see paragraph 1.5.

Voir paragraphe 1.5 pour la vérification du dispositif anti-déviseur.

Tab. 3

i	T _{2M} max [Nm]												
	10	12.5	16	18*	20	25	31.5	35*	40	45*	50	56*	63
PA 80B	544	692	830	—	1086	1301	1656	—	1985	—	2566	—	3319
PA 100B	850	1082	1297	—	1697	2033	2588	—	3101	—	4010	—	5186
PA 125B	1870	2380	2853	3179	3733	4473	5693	6347	6822	7605	8822	9836	11409
PA 160B	3944	5019	6017	6706	7873	9435	12006	13389	14388	16042	18606	20747	24062

* Relaciones especiales / Special ratios / Rapports spéciaux

4.10 Juegos angulares

Bloqueando el eje de entrada, el juego se mide sobre el eje de salida girándolo en las dos direcciones, aplicando el par estrictamente necesario a fin de crear el contacto entre los dientes de los engranajes, hasta un máximo equivalente al 2% del par máximo garantizado por el reductor.

En la siguiente tabla se describen los valores indicativos del juego angular (en minuto de ángulo).

4.10 Angular backlash

After having blocked the input shaft, the angular backlash can be measured on the output shaft by rotating it in both directions and applying the torque which is strictly necessary to create a contact between the teeth of the gears. The applied torque should be at most 2% of the max. torque guaranteed by the gearbox.
The following table reports the approximate values of the angular backlash (in minutes of arc).

4.10 Jeux angulaires

Si l'on bloque l'arbre d'entrée on peut mesurer le jeu sur l'arbre de sortie tout en tournant l'arbre dans les deux directions et avec le couple strictement nécessaire à créer un contact avec les dents des engrenages, équivalent à 2% du couple max. admissible par le réducteur.
Dans le tableau suivant sont indiquées les valeurs indicatives du jeu angulaire (1').

Juego angulares / Backlash / Jeux angulaires (1')

P.A	10-16	P.B	16-20
-----	-------	-----	-------



4.11 Lubricación

Los reductores pendulares se proveen listos para la lubricación con aceite y con los correspondientes tapones de llenado, nivel y sin aceite.

Recomendamos indicar la posición de montaje en el pedido.

Posiciones de montaje y cantidad de aceite (litros)

Las cantidades de aceite indicadas en las distintas tablas, son indicativas y se refieren a las posiciones de trabajo indicadas, considerando las condiciones de funcionamiento a temperatura ambiente y velocidad de entrada de 1400 min⁻¹. Para condiciones de trabajo diversas de las arriba indicadas, contactar a nuestro servicio técnico.

4.11 Lubrication

Shaft-mounted gearboxes require oil lubrication and are equipped with filler, level and drain plugs.

The mounting position should always be specified when ordering the gearbox.

4.11 Lubrification

Les réducteurs pendulaires sont adaptés au graissage par huile et équipés de bouchons de remplissage, vidange et jauge de niveau.

Il faudra toujours préciser la position de montage souhaitée en cours de commande.

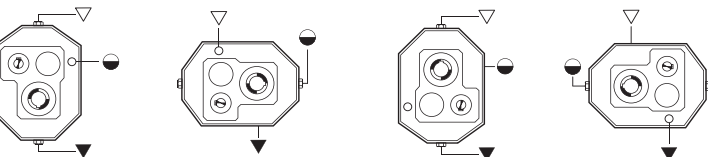
Mounting positions and lubricant quantity (litres)

The oil quantities stated in the tables are approximate values and refer to the indicated working positions, considering operating conditions at ambient temperature and an input speed of 1400 min⁻¹. Should the operating conditions be different, please contact the technical service.

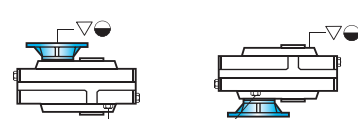
Position de montage et quantité d'huile (litres)

Les quantités d'huile indiquées dans le tableau sont indicatives et concernent les positions de montage indiquées et calculées pour fonctionnement à température ambiante et avec une vitesse à l'entrée de 1400 min⁻¹. Pour des conditions de travail différentes contacter le service technique.

PA - PC



**solo/only/nur
PC**



P	P1	P2	P3	P4	VA	VB
63A - 63B	0.55	0.45	0.55	0.45	0.7	0.7
80A - 80B	1.2	0.9	1.1	0.9	1.4	1.4
100A - 100B	2.2	1.8	2.2	1.8	2.8	2.8
125A - 125B	4.4	3.6	4.4	3.6	5.6	5.6
160A - 160B	8.8	7.2	8.8	7.2	11.2	11.2

Posición de la caja de bornes

Terminal board position

Position de la boîte à bornes

P1	P2	P3	P4	VA	VB



4.12 Cargas radiales y axiales (N)

Las transmisiones realizadas mediante piñones de cadena, engranajes de módulo o poleas, generan fuerzas radiales (F_R) sobre el eje del reductor. Estas fuerzas pueden calcularse mediante la siguiente fórmula:

4.12 Radial and axial loads (N)

Transmissions implemented by means of chain pinions, wheels or pulleys generate radial forces (F_R) on the gear unit shafts. The entity of these forces may be calculated using the following formula:

$$F_R = \frac{K_R \cdot T}{d} [N]$$

donde:

T = momento de torsión [Nm]

d = diámetro del piñón o de la polea [mm]

K_R = 2000 para piñones de cadena
= 2500 para engranajes de módulo
= 3000 para poleas en V

Los valores de las cargas radiales y axiales generados por la aplicación deben ser siempre menores o iguales a los valores indicados en las tablas.

4.12 Charges radiales et axiales (N)

Les transmissions obtenues par des pignons à chaîne, roues dentées ou poulies engendrent des forces radiales (F_R) qui agissent sur les arbres des réducteurs. L'intensité de ces efforts peut être calculée selon la formule :

where:

T = couple [Nm]

d = diamètre pignon ou poulie [mm]

K_R = 2000 for chain pinion
= 2500 for wheel
= 3000 for V-belt pulley

où :

T = couple [Nm]

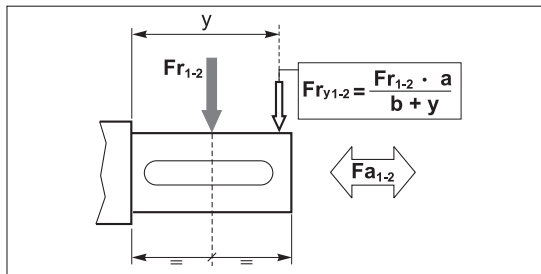
d = diamètre pignon ou poulie [mm]

K_R = 2000 pour pignon à chaîne

= 2500 pour roues dentées

= 3000 pour poulies avec courroies trapézoïdales

$$F_R \geq F_{R1-2}$$



Si la carga radial sobre el eje de salida no es aplicada a mitad de la longitud del eje, el valor de la carga admisible debe ser considerado utilizando la fórmula referente a F_{Ry1-2} , siendo los valores de a , b y Fr_{1-2} obtenidos en la tabla relativa a las cargas radiales.

Should the radial load affect the shaft not at the half-way point of its projection but at a different point, the value of the admissible load has to be calculated using the F_{Ry1-2} formula: a , b and Fr_{1-2} values are reported in the radial load tables.

Sila charge radiale sur l'arbre de sortie n'est pas appliquée à mi-bout d'arbre, la valeur de la charge admisible doit être calculée en utilisant la formule qui se réfère à F_{Ry1-2} , dont les valeurs de a , b et Fr_{1-2} sont indiquées aux tableaux concernant les charges radiales.

P 63B		P 63A P 80B		P 80A P 100B		P 100A P 125B		P 125A P 160B	
EJE DE ENTRADA / INPUT SHAFT / ARBRE D'ENTREE ($n_1 = 1400 \text{ min}^{-1}$)									
i_n	a=107 Fr₁	b=92 Fa₁	a=118.25 Fr₁	b=98.25 Fa₁	a=141.25 Fr₁	b=116.25 Fa₁	a=165.25 Fr₁	b=135.25 Fa₁	a=203.25 Fr₁
Tutti All Alle	315	60	400	80	630	125	1000	200	1600
P 63B		P 80B		P 100B		P 125B		P 160B	
EJE DE SALIDA / OUTPUT SHAFT / ARBRE DE SORTIE ($n_1 = 1400 \text{ min}^{-1}$)									
i_n	a=111 Fr₂	b=81 Fa₂	a=139 Fr₂	b=103 Fa₂	a=170.5 Fr₂	b=122.5 Fa₂	a=204.5 Fr₂	b=144.5 Fa₂	a=251.5 Fr₂
10	1140	230	2800	560	3250	650	5150	1030	9580
12.5	1340	270	3100	620	3700	740	5830	1160	10680
16	1480	295	3450	690	4220	840	6590	1310	11925
18*	—	—	—	—	—	—	7010	1390	12610
20	1910	380	3820	765	4780	950	7430	1480	13290
25	1930	385	4200	840	5350	1070	8280	1650	14680
31.5	2180	435	4630	925	6160	1230	9245	1850	16250
35*	—	—	—	—	—	—	9770	1950	17100
40	2400	480	5100	1020	6700	1340	10300	2060	17970
45*	—	—	—	—	—	—	10840	2160	18840
50	—	—	5580	1115	7430	1480	11380	2270	19720
56*	—	—	—	—	—	—	11840	2360	20480
63	—	—	6000	1200	8060	1600	12310	2460	21250

* Relaciones especiales / Special ratios / Rapports spéciaux